

Analiza materialelor prin difractometrie de radiatii X

Obiective:

- de a cunoaste principiile de baza privind analiza WAXD
- de a cunoaste principiul de functionare a unui difractometru
- de a cunoaste performantele si posibilitatile D8 ADVANCE Bruker
- cunoasterea termenilor din literatura de specialitate
- limbaj comun cu operatorii de la laboratorul RX
- cunoasterea modului de a pregati probele aduse si de a prelua rezultatele
- cunoasterea informatiilor care se pot obtine dintr-o difractograma

Curs 1

Principiile de baza privind tehnica WAXD – Wide Angle X-Rays Diffraction

📄 **Istoric**

📄 **Radiatia X: tuburi, spectrul continuu, spectru caracteristic, interactiunea cu substanta,**

📄 **Elementele de cristalografie**

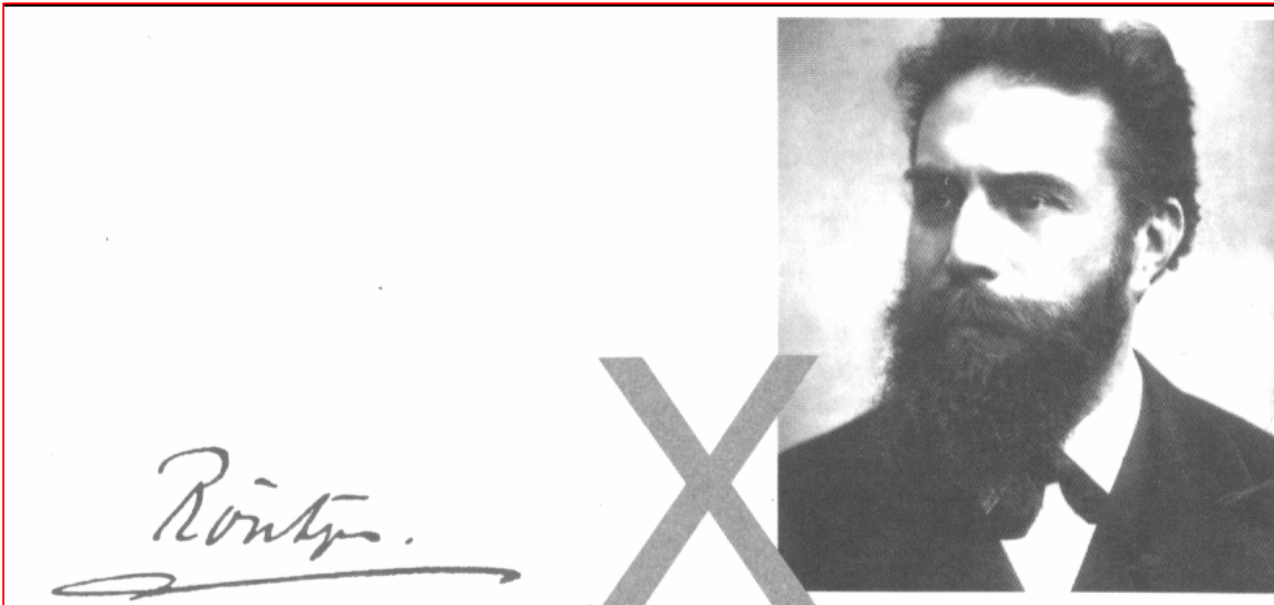
📄 **Conditiiile pentru difractia radiatiilor X**

📄 **Intensitatea liniilor de difractie**

📄 **Metode de analiza**

Istoric (1)

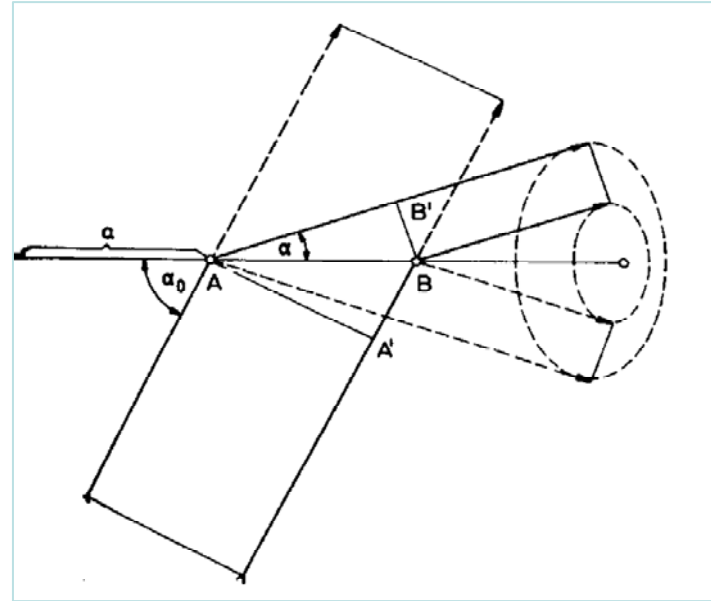
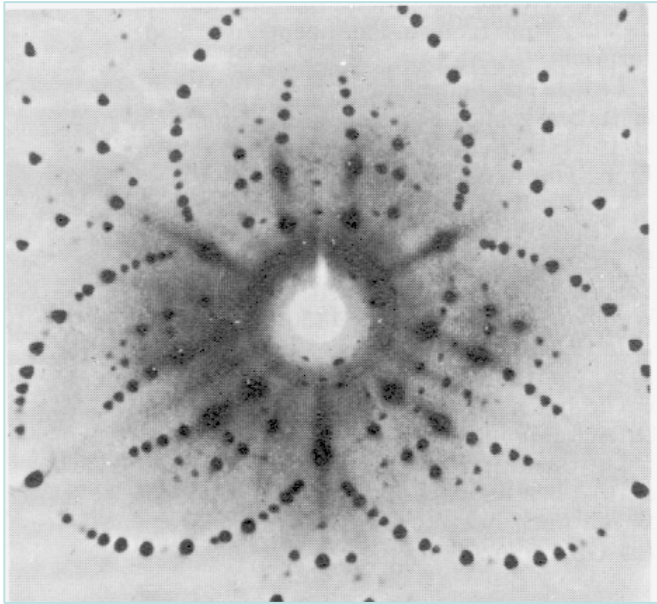
Wilhelm Conrad **Röntgen**



**Wilhelm Conrad Röntgen a descoperit radiatiile X in 1895.
In 1901 a primit premiul Nobel in fizica.**

Istoric (2)

Max Theodor Felix **von Laue**

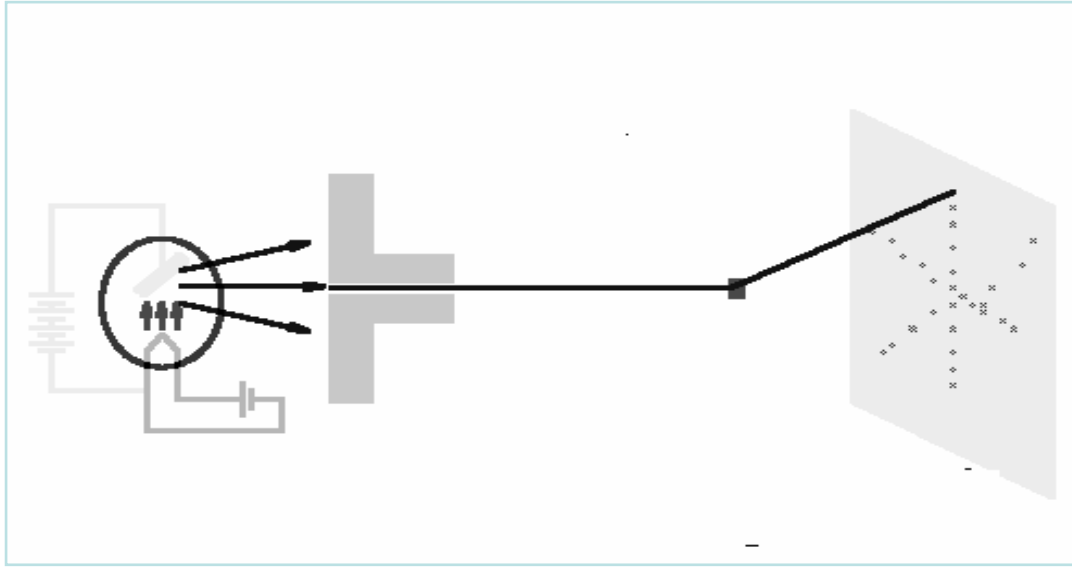


$$\begin{aligned}a(\cos\alpha - \cos\alpha_0) &= h\lambda \\ b(\cos\beta - \cos\beta_0) &= k\lambda \\ c(\cos\gamma - \cos\gamma_0) &= l\lambda\end{aligned}$$

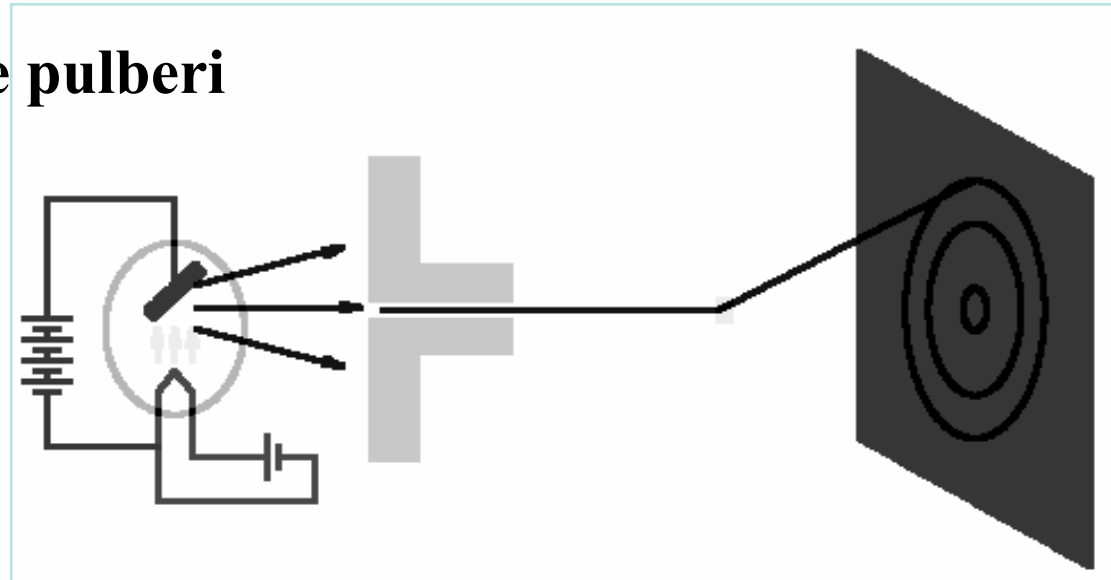
Istoric (3)

Experimentul lui Max Theodor Felix **von Laue** din 1912

Difractia radiatiei X pe un monocristal

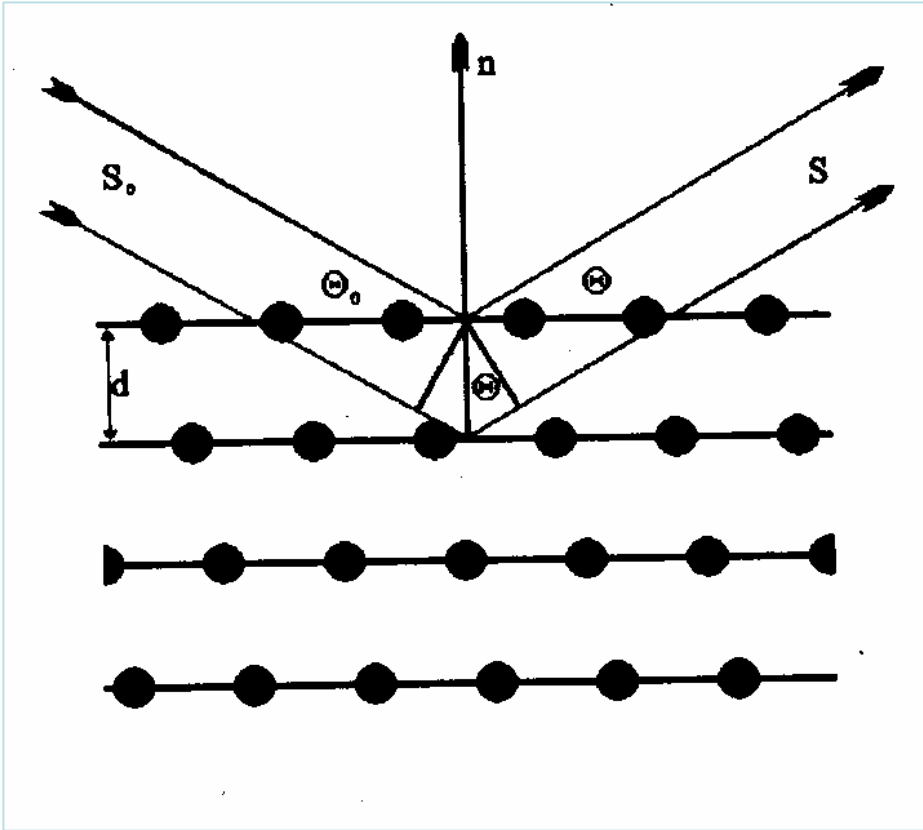


Difractia radiatiei X pe pulberi



Istoric (4)

W. H. Bragg and W. Lawrence Bragg



W.H. Bragg (tatal) and William Lawrence Bragg (fiul) au dezvoltat o relatie simpla pentru unghiul de imprastiere, numita acum

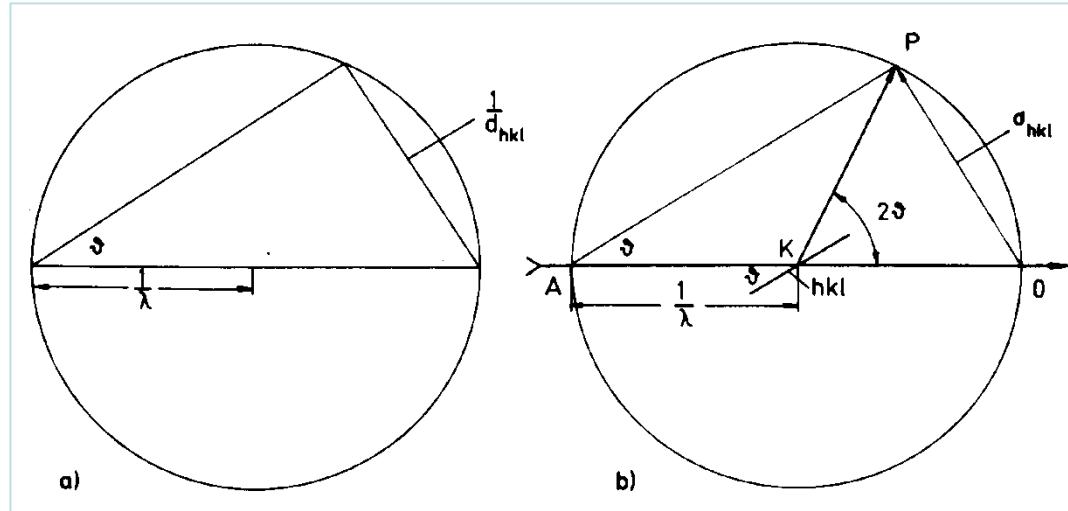
legea lui Bragg:.

$$d = \frac{n \cdot \lambda}{2 \cdot \sin \theta}$$

C. Gordon **Darwin** 1912, teoria dinamica a imprastierii radiatiei X pe retea cristalului

Istoric (5)

P. P. Ewald



P. P. Ewald a publicat in 1916 o teorie mai simpla si mai eleganta a difractiei radiatiei X, prin introducerea conceptului de retea reciproca. Prin comparare legea lui Bragg (stanga), legea lui Bragg modificata (mijloc) si legea Ewald (dreapta):

$$d = \frac{n \cdot \lambda}{2 \cdot \sin \theta}$$

$$\sin \theta = \frac{1/d}{2/\lambda}$$

$$\sin \theta = \frac{\sigma}{2 \cdot 1/\lambda}$$

Radiatia X – tuburi

radiatia X = unde electromagnetice, $\lambda = 0,1 \div 100 \text{ \AA}$

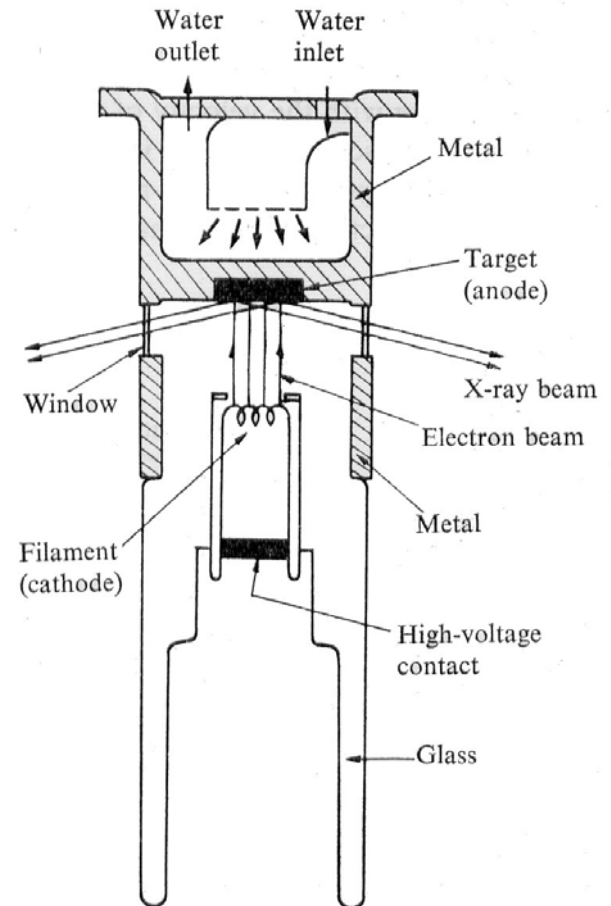
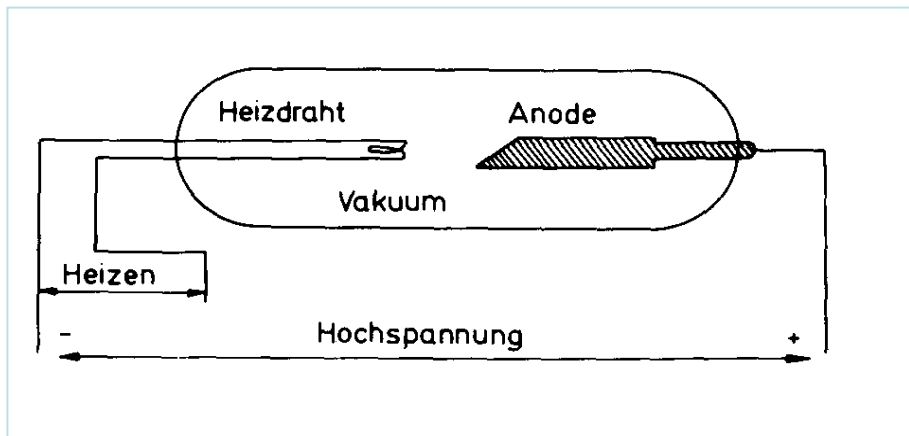
- tuburi fixe: cu sticla, ceramice
- tuburi rotative la $P > 3\text{kW}$
- sincrotron: radiatie de putere mare, fascicul paralel, monocromatica, λ variabil, rezolutie
(!!! soft compatibil TOPAZ)

$U = 10 \div 200 \text{ kV}$

analiza structurala: focar liniar Gotze, $1 \times 10 \text{ mm}^2$, 6°

sursa liniara: $0,1 \times 10 \text{ mm}^2$

sursa punctiforma: $1 \times 1 \text{ mm}^2$



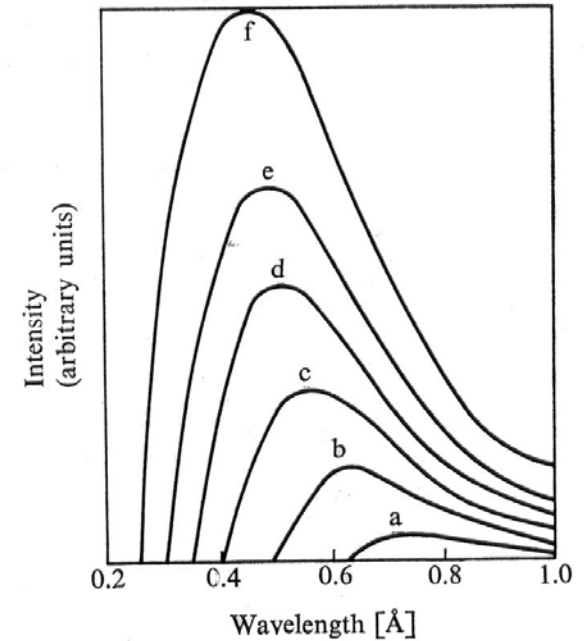
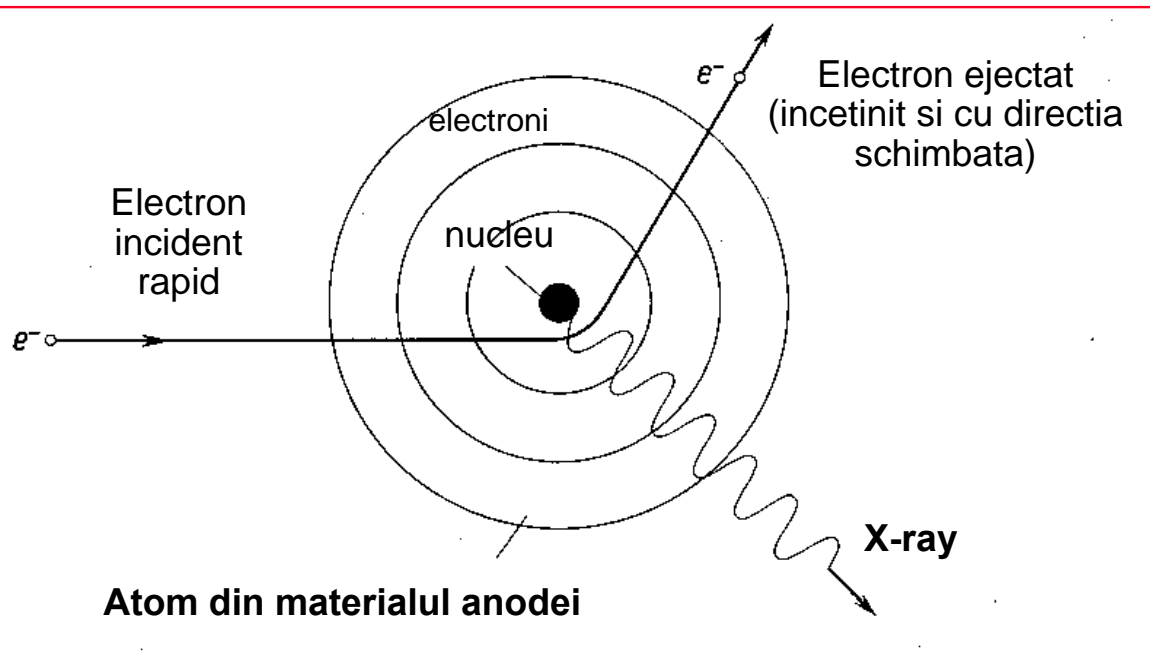
Radiatia X – spectrul continuu

$$\Delta E = (m/2) \cdot (v_1^2 - v_2^2) = h\nu$$

nu depinde de materialul anodului tinta

$$\lambda_{\min} [\text{Å}] = \frac{12,4}{V(\text{kV})}$$

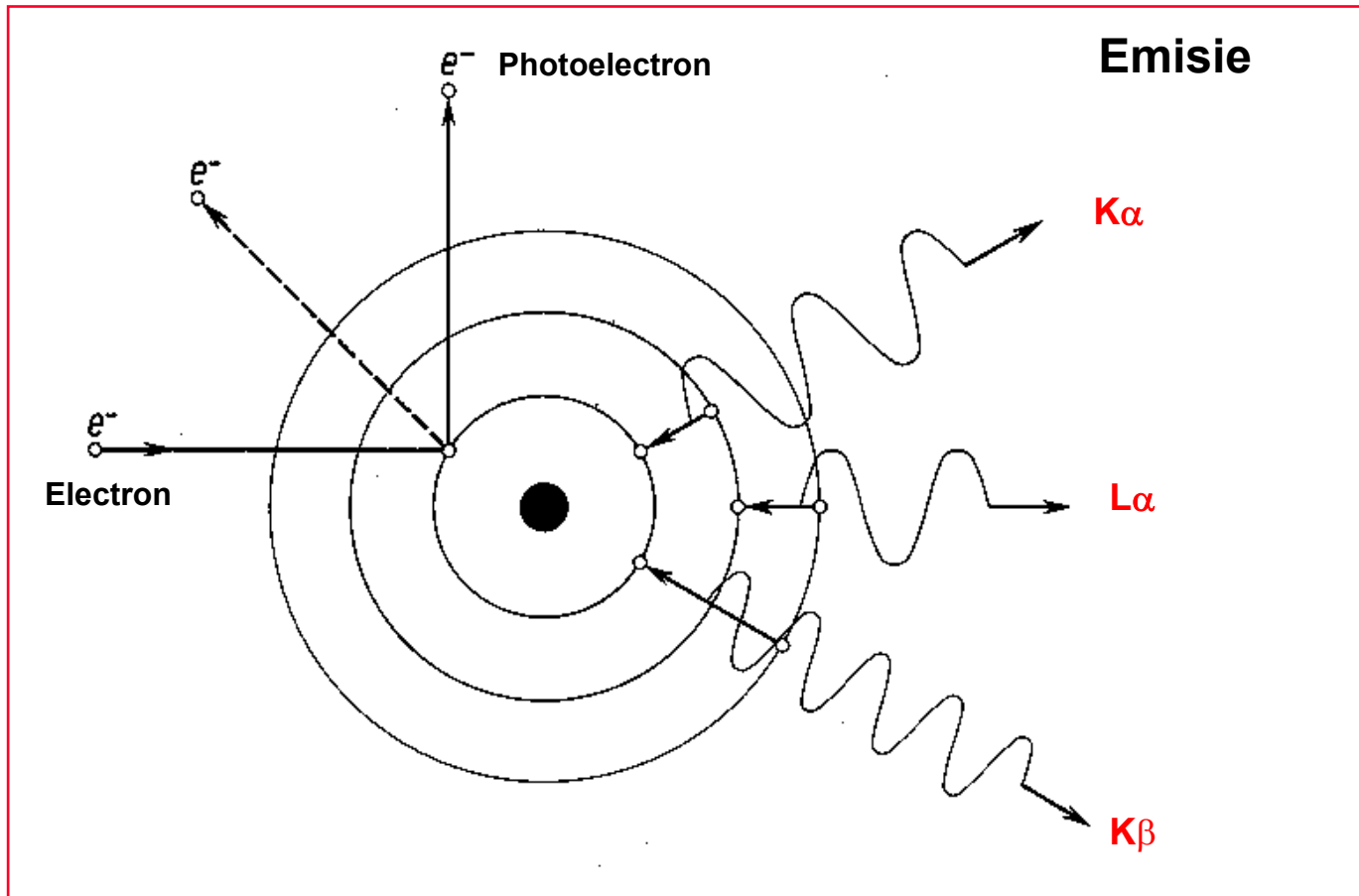
$$I = \alpha \cdot i \cdot Z \cdot V^2 \quad (\text{intensitatea integrala})$$



Radiatia X – spectrul caracteristic (1)

$$E_i - E_f = h \cdot \nu = \frac{h \cdot c}{\lambda}$$

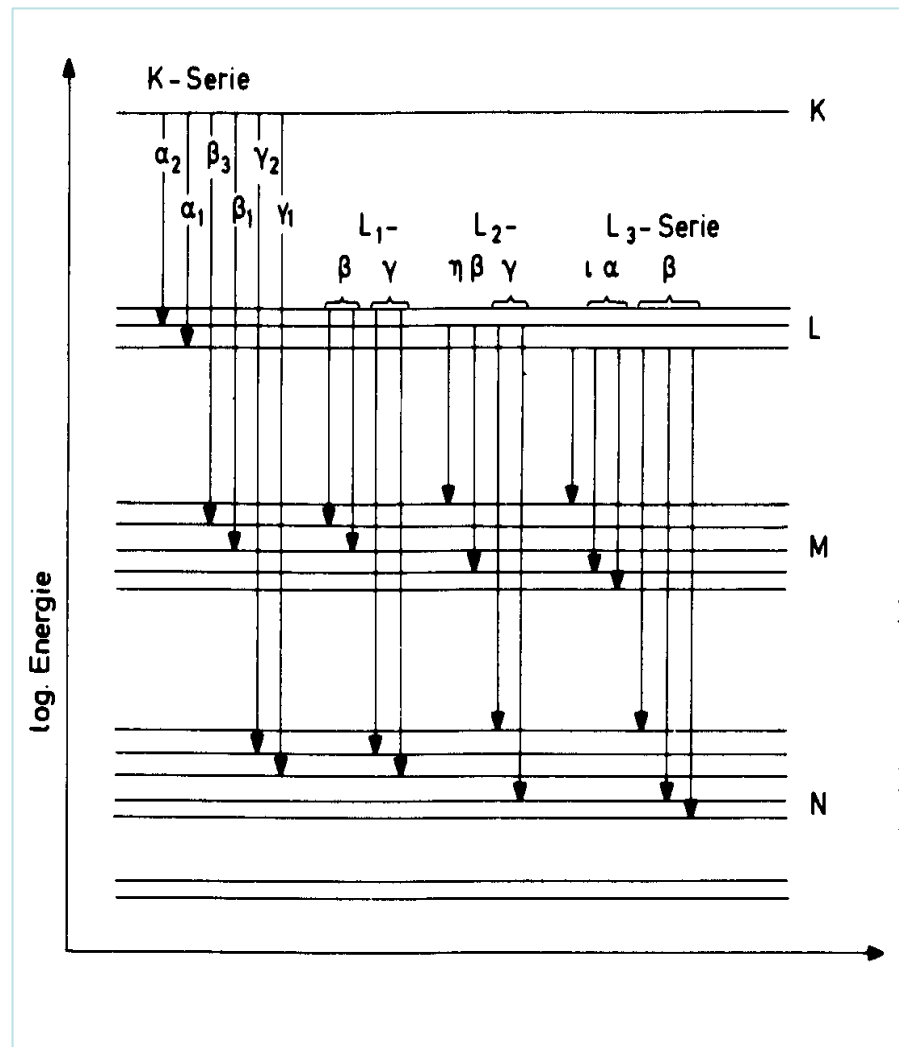
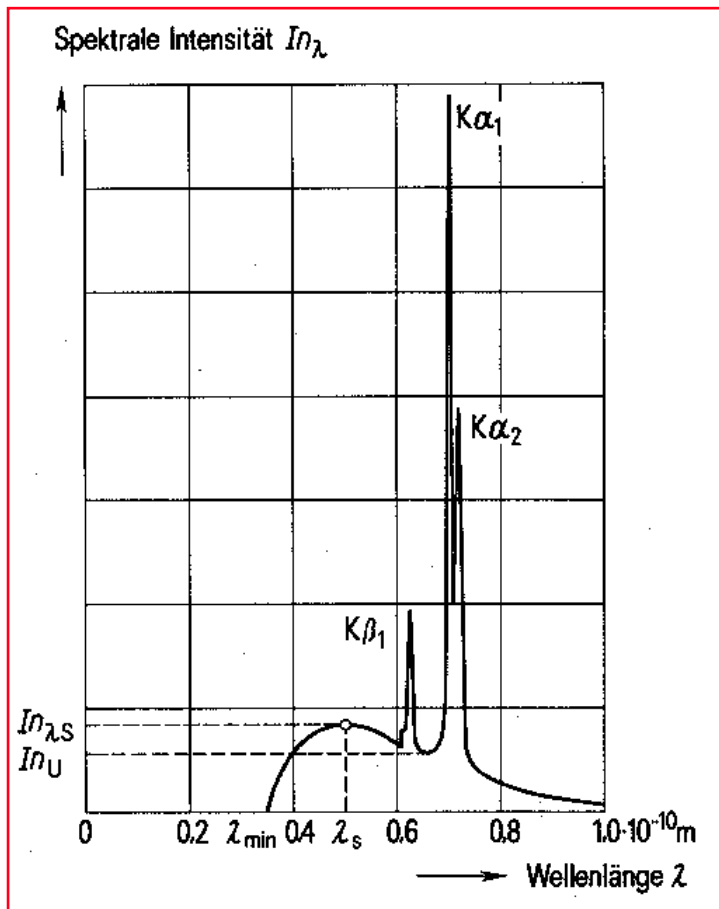
$$I = Ai(V - V_k)^{1,5}$$



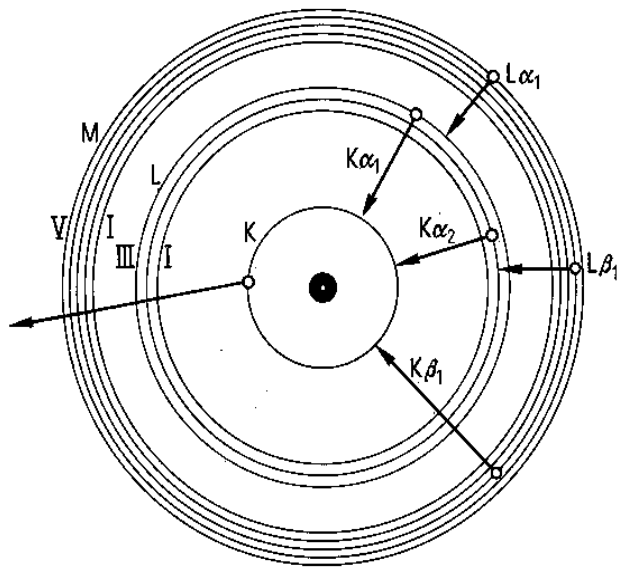
Radiatia X – spectrul caracteristic (2)

$$V = (3,5 \div 5) \times V_k \quad (\text{kV})$$

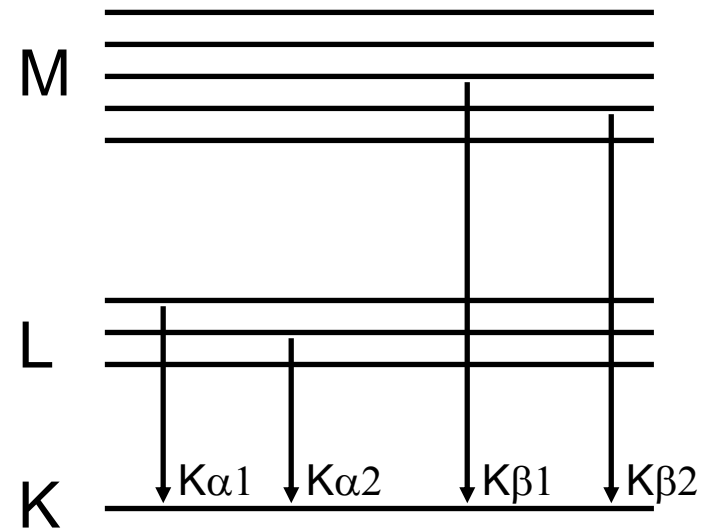
pentru Cu: $V = (3,5 \div 5) \times 9 \quad (\text{kV})$



Radiatia X – spectrul caracteristic (3)



Modelul Bohr



Raportul intensitatilor:

$$K\alpha_1 : K\alpha_2 : K\beta = 10 : 5 : 2$$

Radiatia X – spectrul caracteristic (4)

Lungimi de unda tipice:

Anode	Activation [kV]	Wavelength	λ [Å]	Filter	[mm]
Mo	20.0	$k_{\alpha 1}$	0.7093187(4)	Zr	0.081
		$k_{\alpha 2}$	0.713609(6)		
		$k_{\beta 1}$	0.632305(9)		
Cu	8.981	$k_{\alpha 1}$	1.540598(2)	Ni	0.015
		$k_{\alpha 2}$	1.544426(2)		
		$k_{\beta 1}$	1.39225(1)		
Co	7.709	$k_{\alpha 1}$	1.78901(1)	Fe	0.012
		$k_{\alpha 2}$	1.79290(1)		
		$k_{\beta 1}$	1.62083(2)		
Fe	7.111	$k_{\alpha 1}$	1.93609(1)	Mn	0.011
		$k_{\alpha 2}$	1.94003(1)		
		$k_{\beta 1}$	1.75665(2)		
Cr	5.989	$k_{\alpha 1}$	2.28976(2)	V	0.011
		$k_{\alpha 2}$	2.293663(6)		
		$k_{\beta 1}$	2.08492(2)		

Radiatia X – interactiunea cu substanta

- radiatie transmisa: legea absorbtiei Beer

$$I = I_0 \cdot e^{-\mu x}$$

- caldura

- radiatia X de fluorescenta (secundara): spectru caracteristic \Rightarrow creste fondul

- emisia de electroni: de recul (Compton) + fotoelectroni (Auger)

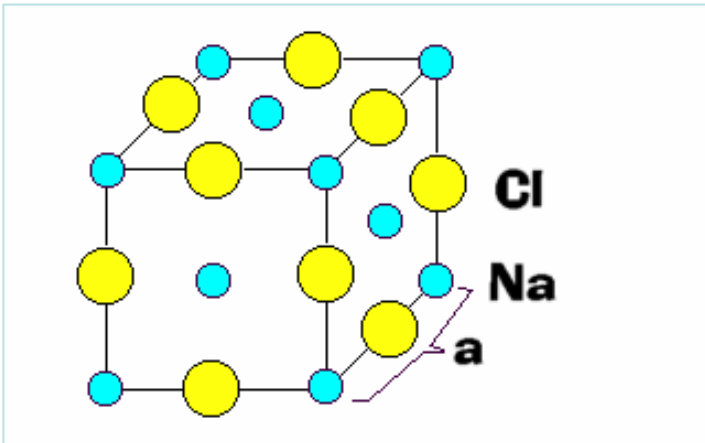
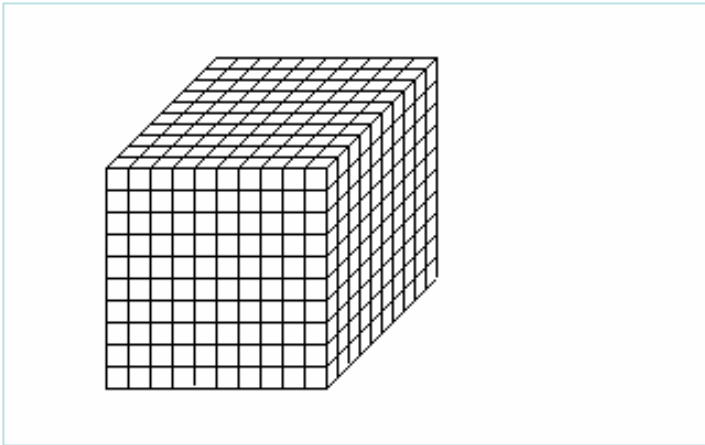
- radiatie imprastiata incoerent (efectul Compton): $\Delta\lambda = \frac{h}{m \cdot c} (1 - \cos 2\theta)$

- radiatie imprastiata coerent: J.J. Thompson (teoria undelor electromagnetice):

$$I = I_0 \frac{e^4}{r^2 m^2 c^4} \cdot \frac{1 + \cos^2 2\theta}{2}$$

Elemente de cristalografie (1)

Crystal and Unit Cell –celula elementara



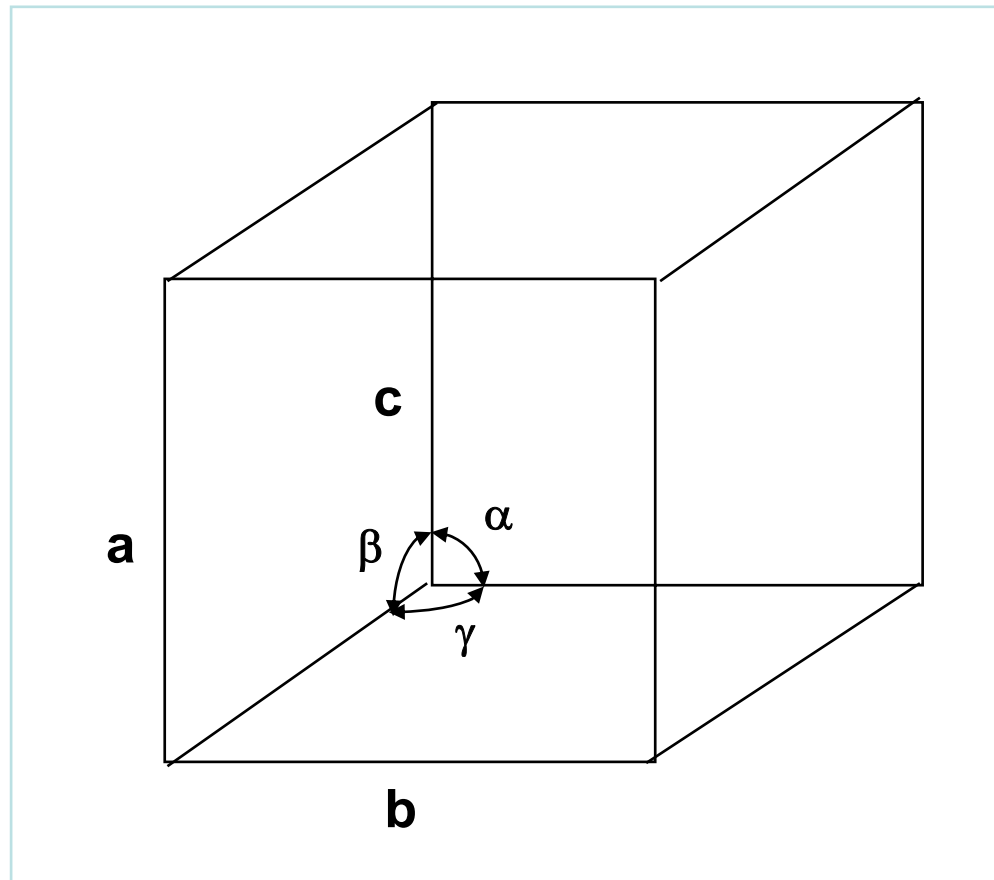
- **Crystalline materials show a 3D translatorically periodic structure.**
- **An ideal crystal is formed by unit cells of the same size consisting of atoms arranged in an identical manner**
- **The size and shape of a unit cell are described by the lattice parameters, which are the length of the edges and the angles between them.**

Elemente de cristalografie (2)

$$a = b = c$$

$$\alpha = \beta = \gamma = 90^\circ$$

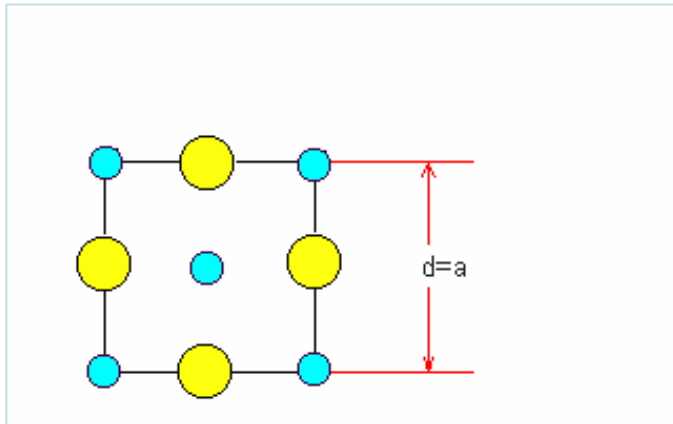
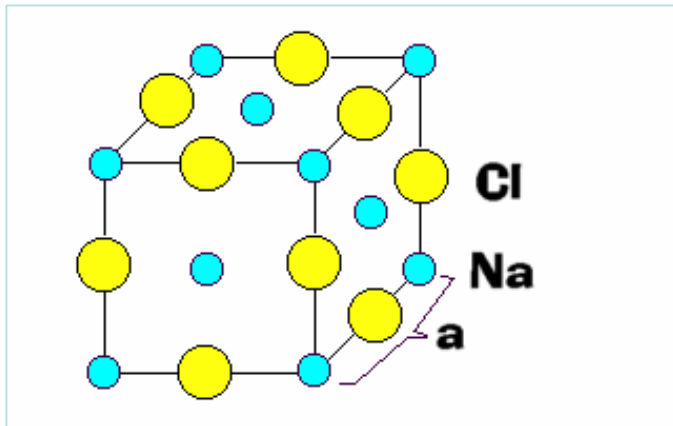
cubic



Elemente de cristalografie (3)

Crystal systems	Axes system
cubic	$a = b = c , \alpha = \beta = \gamma = 90^\circ$
Tetragonal	$a = b \neq c , \alpha = \beta = \gamma = 90^\circ$
Hexagonal	$a = b \neq c , \alpha = \beta = 90^\circ , \gamma = 120^\circ$
Rhomboedric	$a = b = c , \alpha = \beta = \gamma \neq 90^\circ$
Orthorhombic	$a \neq b \neq c , \alpha = \beta = \gamma = 90^\circ$
Monoclinic	$a \neq b \neq c , \alpha = \gamma = 90^\circ , \beta \neq 90^\circ$
Triclinic	$a \neq b \neq c , \alpha \neq \gamma \neq \beta^\circ$

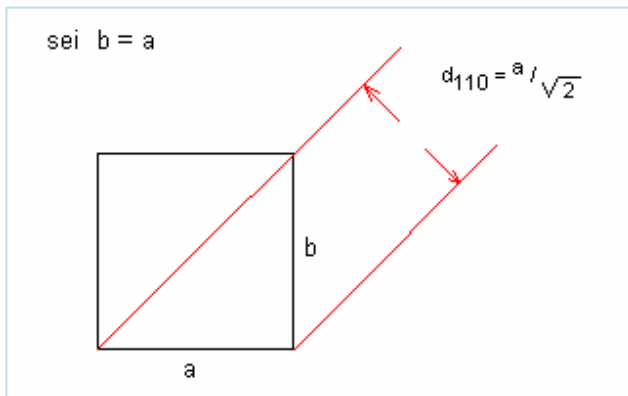
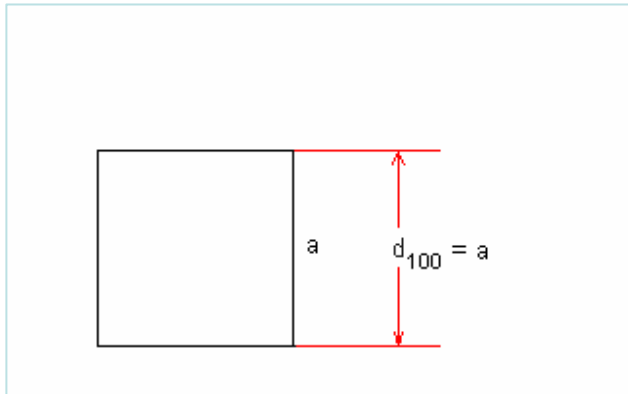
Elemente de cristalografie (4)



- The distances between the lattice planes according to Bragg's model may be derived from the size of the unit cell.
- A family of lattice planes will show the periodicity of the corners of the unit cell.
- Two opposite faces of the unit cell form a pair of planes of a family of lattices planes. Their shortest distance is indicated as a .

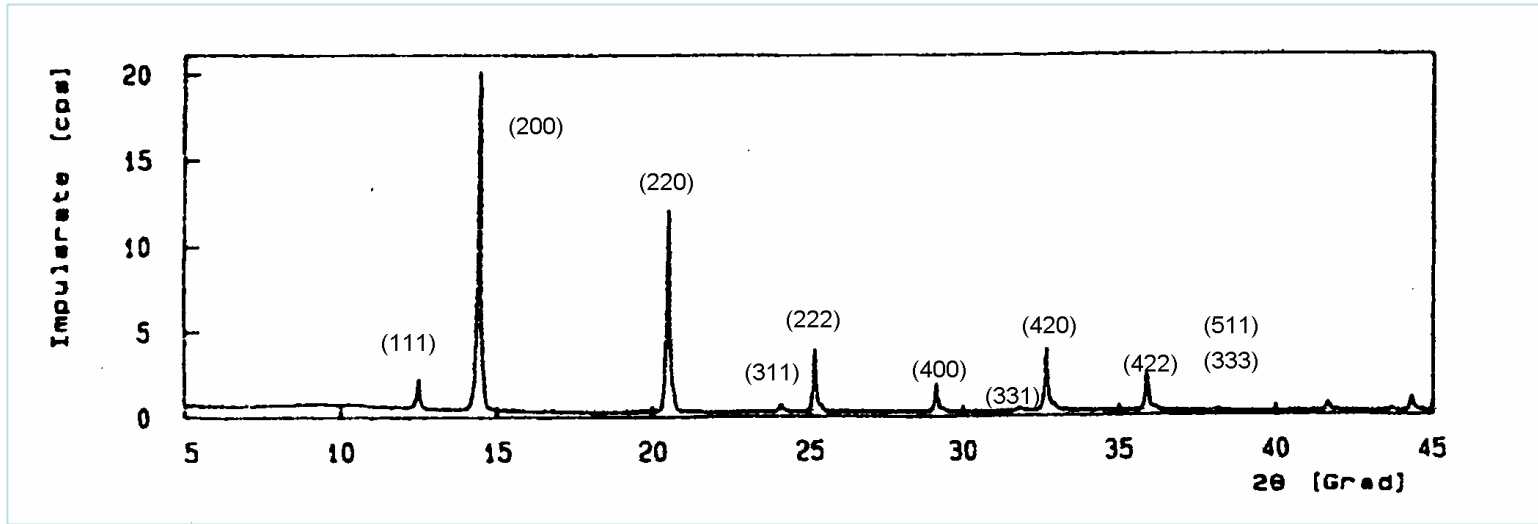
Elemente de cristalografie (5)

Let us look at a cubic unit cell, projected in the direction of the c-axis (a_3 -axis):



- You see the plane set up by the a- and b-axis (a_1 , a_2 -axis). Here $b=a$ is valid.
- You may also find other lattice planes, which do not share the faces of the cubic cell.
- After Miller the distances of a family of lattice planes are named after the reciprocal intersections with the axes.
- The indices of a (family of) lattice plane(s) are written like other indices - for example d_{100} .
- The indices are named h, k and l.

Elemente de cristalografie (6)



- Each peak of a pattern of a crystalline phase may be described by its Miller's indices.
- Some peaks will have an identical or nearly identical position in the pattern. In cubic crystals this happens for the (333) and (511) peak. Peaks like this are named 'multiple indexed'.

Elemente de cristalografie (7)

Bragg's law

$$\lambda = 2 d \sin \theta$$

- The wavelength is known
- Theta is the half value of the peak position
- d will be calculated

Equation for the determination of the d-value of a tetragonal elementary cell

$$1/d^2 = (h^2 + k^2)/a^2 + l^2/c^2$$

- h,k and l are the Miller indices of the peaks
- a and c are lattice parameter of the elementary cell
- if a and c are known it is possible to calculate the peak position
- if the peak position is known it is possible to calculate the lattice parameter

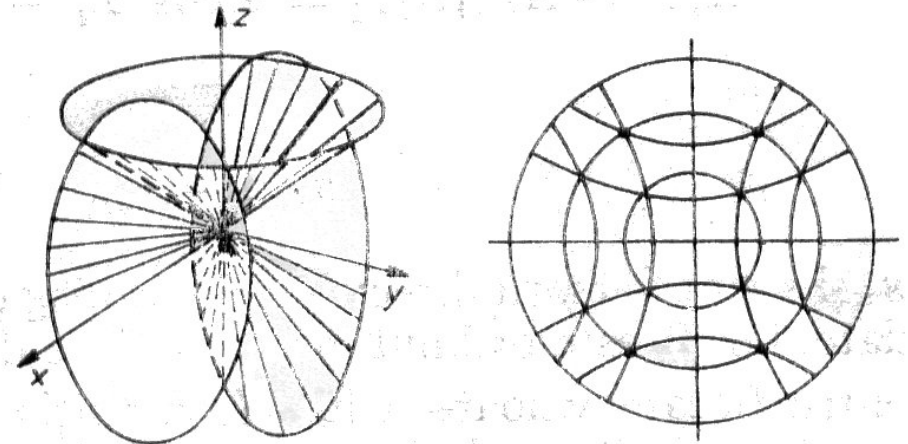
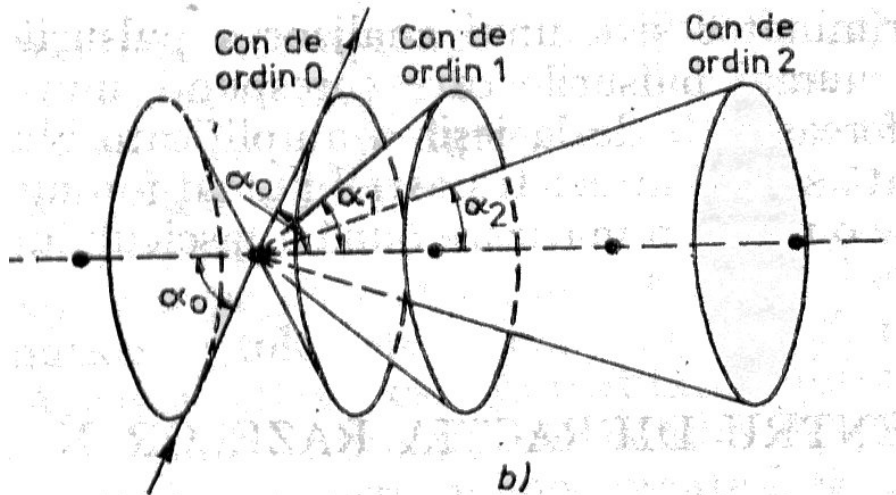
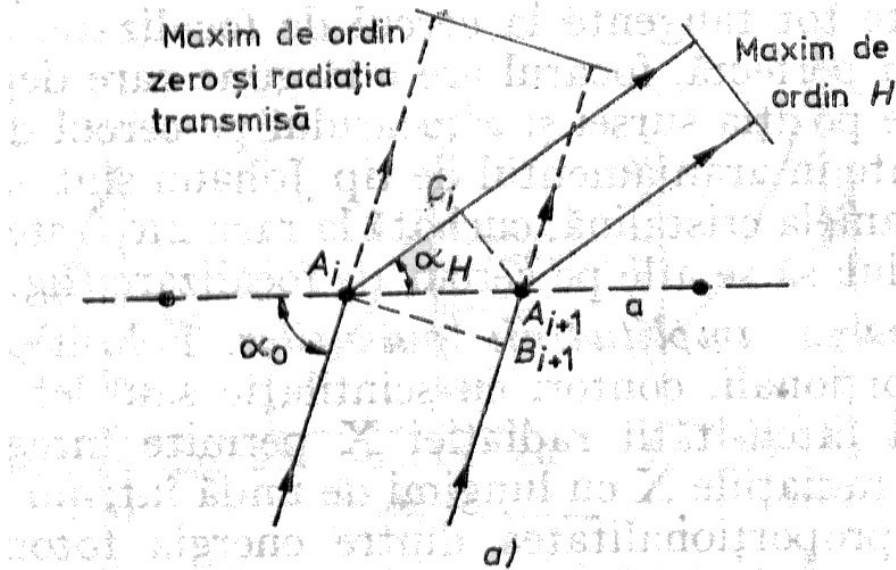
Condițiile pentru difracția radiațiilor X (1)

Ecuatiile Laue:

$$a(\cos \alpha_H - \cos \alpha_0) = H \cdot \lambda$$

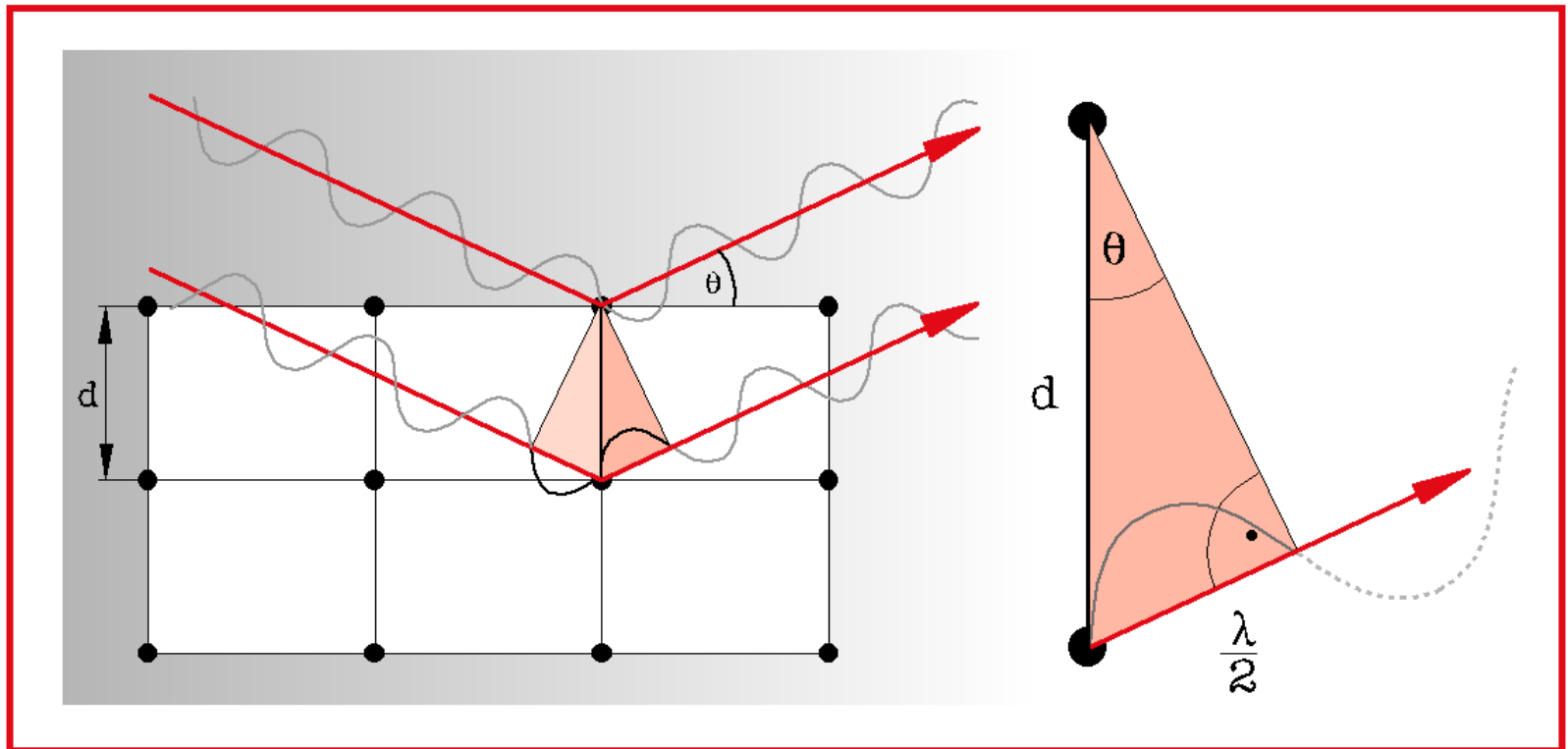
$$b(\cos \beta_K - \cos \beta_0) = K \cdot \lambda$$

$$c(\cos \gamma_L - \cos \gamma_0) = L \cdot \lambda$$



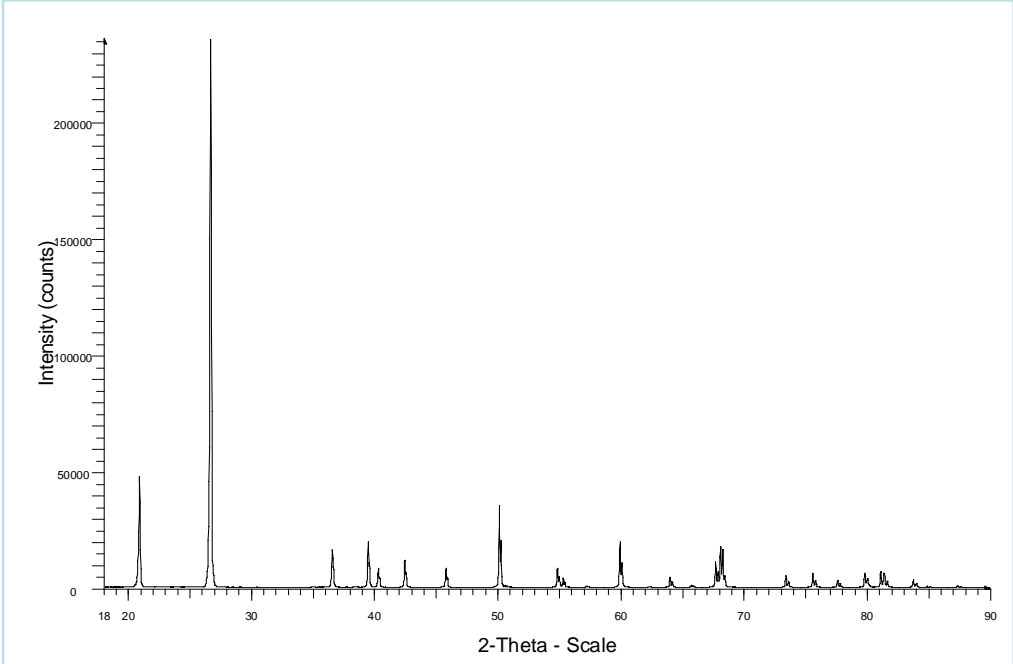
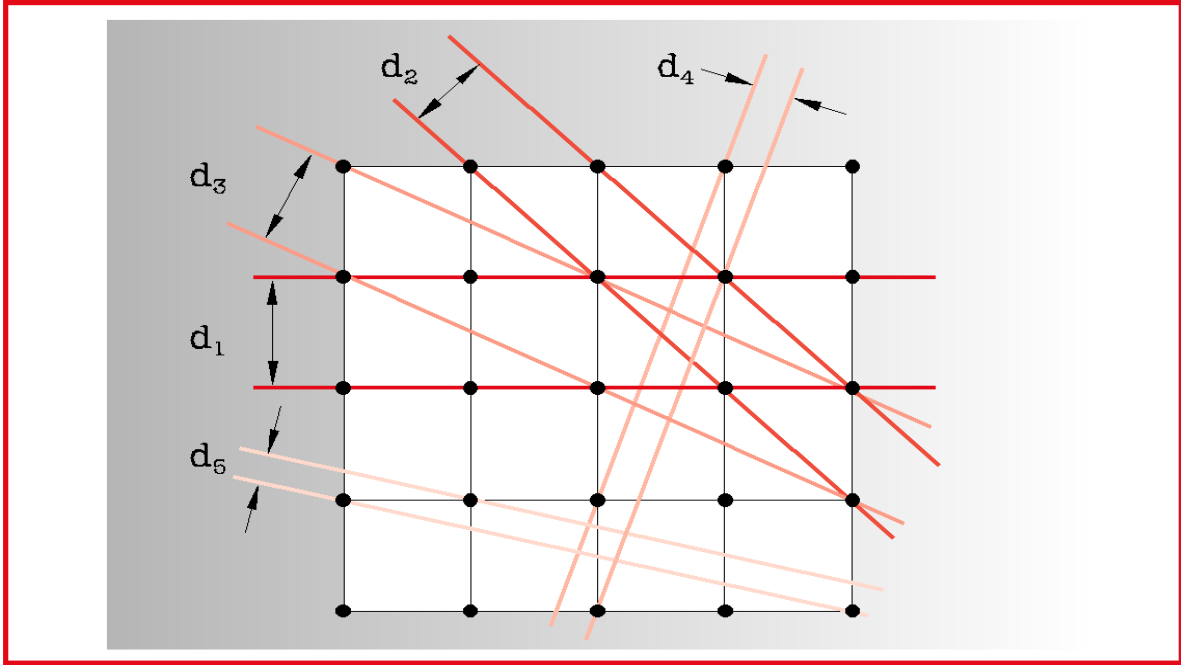
Conditiiile pentru difractia radiatiilor X (2)

Ecuatiile Bragg:



$$n\lambda = 2d \sin\theta$$

Condițiile pentru difracția radiatiilor X (3)



Intensitatea liniilor de difracție

❑ factorul de polarizare:
$$I = I_0 \frac{e^4}{r^2 m^2 c^4} \cdot \frac{1 + \cos^2 2\theta}{2}$$

❑ factorul atomic de imprastiere: raportul între amplitudinea undei imprastiată de un atom și amplitudinea undei imprastiată de un electron (poziționarea spațială a electronilor)

❑ factorul de temperatură

❑ factorul de structură

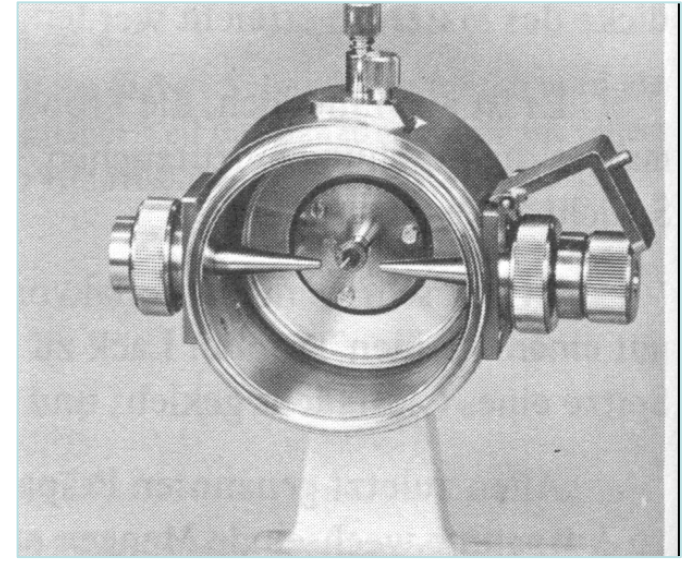
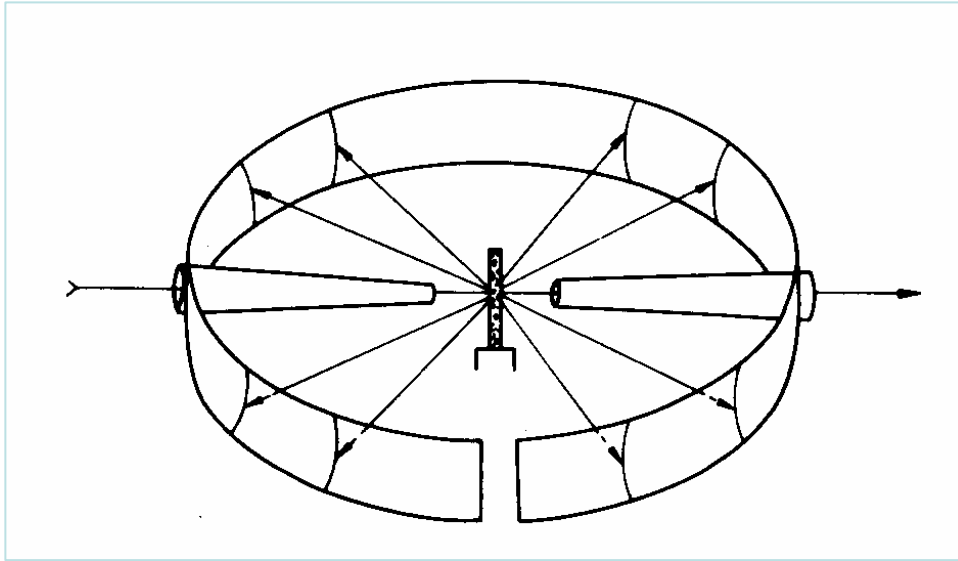
❑ factorul de multiplinitate

❑ factorul de absorbție

❑ factorul Lorentz (paralelism, monocromatic)

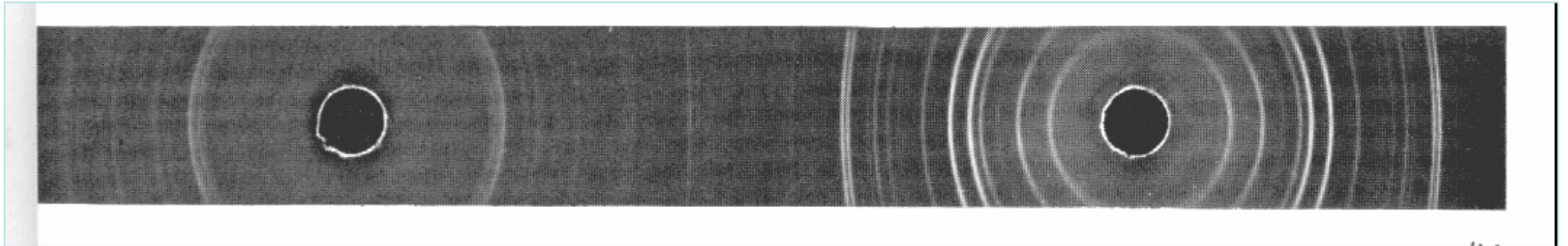
!!! Programele soft trebuie să țină seama de toți acești factori

Metode de analiza (1)



Pulberea este pusa pe o fibra de sticla, intr-un capilar de sticla

- **Ca detector se utilizeaza un film sensibil la radiatii X, montat ca un cilindru in jurul probei.**
- **Se utilizeaza colimatoare (+ vid) pentru a evita imprastierea pe aer.**



$$d = \frac{n \cdot \lambda}{2 \cdot \sin \theta}$$